

## Anjiyotensin dönüştürücü enzim genotiplerinde sol ventrikül kitlesi, boyutları ve uzun eksen sistolik fonksiyonları farklı mıdır?

*Do left ventricular mass, diameters and long-axis systolic function differ according to angiotensin converting enzyme genotypes?*

Dursun Dursunoğlu, Halil Tanrıverdi, Sebahat Turgut\*, Harun Evrängül, Günfer Turgut\*, Mustafa Kılıç

Pamukkale Üniversitesi Tıp Fakültesi Kardiyoloji ve Fizyoloji\* Anabilim Dalları, Denizli, Türkiye

### ÖZET

**Amaç:** Anjiyotensin dönüştürücü enzim (ADE) ile oluşan anjiyotensin II (AII), özellikle anjiyotensin reseptör I üzerinden miyokardda hipertrofi ve hiperplaziye neden olmaktadır. Bu çalışmada ADÉ DD, DI ve II genotiplerine sahip sağlıklı genç erkeklerde sol ventrikül kitlesi ve boyutları ile mitral annuler hareket (MAH) yöntemiyle sistolik fonksiyonlar ve aralarındaki ilişki araştırılmıştır.

**Yöntemler:** On sekiz ADE DD, 18 ADE DI ve 13 ADE II genotiplerine sahip toplam 49 sağlıklı genç erkekte (ortalama yaş  $22.9 \pm 2.1$  yıl) tam ekokardiyografik inceleme yapıldı. M-mod ekokardiyografi ile sol ventrikül kitlesi (SVK) ve SVK indeksi (SVKI) hesaplandı. Apikal dört ve iki boşluk pencerelerinde septal, lateral, anterior ve posterior sistolik MAH ölçümleri yapıldı ve ejeksiyon fraksiyonu (EF) hesaplandı (EF-MAH%). Ayrıca Simpson kuralına göre de sol ventrikül hacimleri ile EF (%) ölçümleri yapıldı.

**Bulgular:** Üç grup arasında yaş, beden kitle indeksi, sistolik ve diyastolik kan basınçları ile kalp hızları açısından anlamlı fark yoktu. Interventriküler septum (IVS) kalınlığı, sol ventrikül arka duvar (SVAD) kalınlığı, SVK ve SVKI ölçümleri, ADE DD, DI ve II genotipleri arasında anlamlı olarak farklı saptandı. Bu ölçümler, ADE DD genotipinde diğer iki gruba göre anlamlı olarak daha yükseldi. Sol ventrikül ejeksiyon fraksiyonu ise, gerek sistolik MAH yöntemiyle ve gerekse Simpson kuralına göre üç ADE genotipi arasında anlamlı fark oluşturmadı.

**Sonuç:** Anjiyotensin dönüştürücü enzim DD genotipine sahip sağlıklı genç erkeklerde, IVS, SVAD kalınlıkları ile SVK ve SVKI artmasına bile ADE DI ve II genotipleri grupperine göre anlamlı olarak daha fazla olmaktadır. Sol ventrikül sistolik fonksiyonlarında ise üç genotip grubu arasında anlamlı fark oluşmamaktadır. (*Anadolu Kardiyol Derg 2005; 5: 172-7*)

**Anahtar kelimeler:** Anjiyotensin dönüştürücü enzim genotipleri, sol ventrikül kitlesi, mitral annuler hareket, sistolik fonksiyonlar

### ABSTRACT

**Objective:** Angiotensin converting enzyme (ACE) is a key enzyme in angiotensin II production which causes myocardial hypertrophy and hyperplasia. In this study we aimed to investigate the relation between ACE I/D gene polymorphism and left ventricular mass (LVM), dimensions and systolic functions calculated by mitral annular motion (MAM) in young healthy male subjects.

**Methods:** Complete echocardiographic examination was performed in 49 male healthy subjects (mean age  $22.9 \pm 2.1$  years) consisting of 18 ACE DD, 18 ACE DI and 13 ACE II genotypes. We calculated LVM and mass index (LVMI) by M-Mode echocardiography. The systolic MAM was recorded at 4 sites (septal, lateral, anterior, and posterior) by M-mode echocardiography and the MAM-ejection fraction (EF) was calculated from above four sites. Ejection fraction was also calculated by Simpson's method.

**Results:** There was no significant difference among the three genotypes according to age, body mass index, systolic and diastolic blood pressure and heart rate. Interventricular septum (IVS) and left ventricular posterior wall (LVPW) diastolic thickness, LVM and LVMI were found significantly different among 3 ACE genotypes. Those measurements were higher in DD genotype in comparison to the DI and II genotypes. There was no significant difference among the three genotypes according to EF-MAM and EF by Simpson's method.

**Conclusion:** In young healthy male subjects having ACE DD genotype, even though LVM and LVMI were within normal limits, their measurements were found to be higher than in subjects with ACE DI and II genotypes respectively. There was no difference among the three genotypes according to left ventricular systolic functions. (*Anadolu Kardiyol Derg 2005; 5: 172-7*)

**Key words:** ACE genotypes, left ventricular mass, mitral annular motion, systolic functions

### Giriş

Genetik anomalilikler, kardiyovasküler hastalıklar açısından çevresel risk faktörleriyle birlikte önemli bir rol oynamaktadır. Bazı enzimlerin genetik polimorfizmleri miyokardda daha belirgin olarak hipertrofi ve/veya hiperplaziye neden olabilmektedir.

Sol ventrikül hipertrofisi (SVH) büyük bir oranda kardiyomiyositerin büyüğünün artışı ile oluşan bir süreçtir ve genetik kontrol altındadır (1). Sol ventrikül hipertrofisi, ventriküler diyastolik ve sistolik disfonksiyonun güçlü nedenlerinden olup kardiyovasküler morbidite ve mortalitenin bağımsız bir belirleyicisidir (2).

Anjiyotensin dönüştürücü enzim (ADE), renin-anjiyotensin

sisteminin (RAS) ve kinin-kallikrein sisteminin anahtar bileşenidir (3). Renin aktivitesiyle oluşan vazoinaktif anjiyotensin I (AT I)'in ADE enzimi aracılığıyla vazoaktif Anjiyotensin II'ye (AT II) dönüşümü RAS yolunun anahtar reaksiyonudur (4). Oluşan AT II, güçlü bir vazokonstriktördür ve surrenal korteksinden aldosteron sekresyonunu da uyarmaktadır.

Renin-anjiyotensin sisteminde çeşitli gen polimorfizmleri olduğu bildirilmiştir. Rigat ve ark. tarafından bulunan gen polimorfizmleri insersyon (I) ve delesyon (D) tiplerindedir ve anjiyotensinojen, ADE ve AT II reseptörleri (tip 1 ve 2) genlerindeki polimorfizmleri içermektedir (5). Anjiyotensin dönüştürücü enzim genotiplerinden DD genotipi %36, ID genotipi %46 ve II genotipi %18 sıklıkta bulunmuştur (5). Ayrıca ADE DD genotipinin dolaşımında artmış ADE düzeyleri ile ilişkili olduğu gösterilmiştir (2,6-8). Doku ADE aktivite artışı sonucu artan AT II; protein sentezi artışı, miyositlerde hipertrofi, hiperplazi, miyosit boyunun uzaması, apoptozis, fokal nekroz ve miyosit kaybı ile ventriküler yenidoşenmeye (remodeling) neden olmaktadır (4).

Sol ventrikül ejeksiyon fraksiyonu (EF) tayininde endokardiyal sınırların belirlenip taranmasına dayalı çeşitli konvansiyonel eko-kardiyografik yöntemler vardır (9,10). İki boyutlu (2D) ekokardiyografi ile Simpson metodu ve M-mode ile Teichholz metodu sık kullanılan yöntemlerdir. Ayrıca mitral annulusun doku Doppler görüntülemesi, sol ventrikülün sistolik ve diyastolik fonksiyonlarının tayininde kullanılabilir. Bununla birlikte bu yöntemlerin bazı teknik kısıtlamaları, alternatif yöntemlerin uygulanmasını gerektirebilir.

Mitral annuler hareket (MAH) ya da diğer deyişle mitral atrioventriküler plan yer değişimi (AVPD) metodu, sol ventrikül sistolik fonksiyonlarının tayininde endokardiyal sınırların belirlenmesinin zor olduğu durumlarda bile, mitral annulusun iyi görüntülenebilmesinden dolayı uygun ve basit bir yöntemdir (11-19). Kardiyak siklus boyunca kalbin epikardiyal yüzeyi pratikte hareket etmemekte ve sol ventriküler ejeksiyon, ancak atrioventriküler düzlemin yer değiştirmesiyle gerçekleştirilebilmektedir (11). Sistolde, longitudinal lillerin kontraksiyonu sonucu atrioventriküler düzleme apektse doğru hareket etmekte, diyastolde ise apektsten uzaklaşmaktadır (12). Değişik çalışmalarında MAH metodu ile ventrikül fonksiyonları araştırılmıştır: Kronik kalp yetersizliğinde (11), kronik koroner arter hastalığında (13), akut miyokard infarktüsünde (14), dilate kardiyomyopati (15), hipertansif ve diyabetik hastalarda (16), diyastolik disfonksiyonlu hastalarda (17) ve sağlıklı kişilerde (18,19). Mitral annuler hareket metodunun aynı zamanda sol ventrikül diyastolik fonksiyonunu da gösterebileceği bildirilmiştir (19).

Bugüne kadar ADE polimorfizminin, sol ventrikül kitlesi ile konvansiyonel yöntemlerle sistolik ve diyastolik fonksiyon parametreleri üzerine etkisi konusunda değişik çalışmalar yapılmıştır; ancak literatürde ADE genotiplerinde sol ventrikül uzun eksen fonksiyonlarını değerlendiren herhangi bir yapılmış araştırma yoktur. Bu çalışmada, ADE DD, DI ve II genotiplerine sahip sağlıklı genç erkeklerde, sol ventrikül kitlesi (SVK), SVK indeksi (SVKI) ve boyutları ile MAH yöntemiyle sistolik fonksiyonlar ve aralarındaki ilişki araştırılmıştır.

## Yöntemler

### a) Olgular

On sekiz ADE DD, 18 ADE DI ve 13 ADE II genotiperine sahip (ortalama yaşları sırasıyla  $22.6 \pm 1.1$  yıl,  $23.1 \pm 2.5$  yıl ve  $23.5 \pm 1.2$  yıl,  $p > 0.05$ ) toplam 49 sağlıklı genç erkek (ortalama yaş  $22.9 \pm 2.1$  yıl) tam ekokardiyografik (EKO) incelemeye alındı ve elektrokardi-

yografik tetkikleri ile rutin biyokimyasal analizleri yapıldı. Her bir olgunun sistolik (SKB) ve diyastolik (DKB) kan basınçları en az 5 dakika dinlenmeden sonra yatar pozisyonda her iki koldan ERKA marka aneroid cıvalı bir sfigmomanometer ile ölçüldü ve dakika kalp hızları (KH) kaydedildi. Olguların kiloları (kg), boylarının (m) karesine bölünerek beden kitle indeksleri (BKİ) hesaplandı ( $\text{kg}/\text{m}^2$ ). Detaylı anamnezleri de alınan tüm olguların kardiyak ve genel fizik muayeneleri yapıldı ve herhangi bir patolojik özellik saptanmadı.

### b) Anjiyotensin dönüştürücü enzim (ADE) genotip tayini ve polimorfizm tipleri

İnsan ADE geni kromozom 17q23 de lokalize olmuştur. 287-bp I/D polimorfizm ADE geninin 16. intronunda yerleşmiştir. Genomik DNA, olguların tümünde periferik kanın alınarak standard phenol/chloroform ile hazırlanmasıyla elde edilmiştir (20). Polymerase chain reaction (PCR) metodıyla ADE geninin 16. intronundaki I ve D alellerleri araştırıldı (8). DNA çoğaltma işlemi 35 siklus boyunca  $94^\circ$ ,  $60^\circ$  ve  $72^\circ\text{C}$  ısı altında denatürasyon, yayılım ve yapışma işlemi gerçekleştirildi. Çoğaltılan fragmanların büyülüğu UV Gel Documentation sisteminde %2 agarose jel elektroforeziyle saptandı.

### c) Ekokardiyografik inceleme

Tüm olgulara Kontron-Sigma Ekokardiyografi cihazı ile, 2.8 MHz prob kullanılarak sol lateral pozisyonda ve Amerikan Ekokardiyografi Cemiyeti önerilerine uygun olarak tam ekokardiyografik inceleme yapıldı (21-23).

Parasternal uzun eksen penceresinde sol ventrikül diyastol sonu (SVDS) ve sistol sonu (SVSS) çapları (mm), sol ventrikül arka duvar (SVAD) ve interventriküler septum (IVS) kalınlıkları (mm) sistol ve diyastol sonunda M-mode yöntemiyle ölçüldü. Devereux formülüne göre sol ventrikül kitlesi (g) hesaplandı (24) ve bunun beden yüzeyine bölünmesiyle sol ventrikül kitle indeksi ( $\text{g}/\text{m}^2$ ) elde edildi ve erkekler için  $\text{SVK} \leq 294 \text{ g}$  ve  $\text{SVKI} \leq 125 \text{ g}/\text{m}^2$  değerleri normal olarak kabul edildi.

Sol ventrikül ejeksiyon fraksiyonu (EF) iki boyutlu (2D) yöntemle Simpson kuralına göre hesaplandı ((SVDS hacmi-SVSS hacmi)/ SVDS hacmi). Doppler yöntemi kullanılarak sol ventrikül diyastolik fonksiyonları değerlendirildi; bu amaçla mitral erken doluş ve geç doluş (atriyal) akım hızları oranı (E/A oranı), E dalgası deselerasyon zamanı (DZ), isovolumik relaksasyon zamanı (IVRZ) ölçüldü. Apikal dört boşlukta renkli M-Mod yöntemi kullanılarak mitral akım yayılım hızı (velocity propagation=VPR) değerlendirildi (25). Sol ventrikül global (sistolik+diyastolik) fonksiyonlarını değerlendirmek için apikal dört boşluk penceresinde PW Doppler yöntemi kullanılarak miyokardiyal performans indeksi (MPI, Tei indeks) hesaplandı: (isovolumik kontraksiyon zamanı+IVRZ)/ aortik ejeksiyon zamanı (EZ)(26).

Apikal dört ve iki boşluk pencelerinde septal, lateral, anterior ve posterior sistolik MAH ölçümleri M-mod ekokardiyografi ile yapıldı (11) ve bunların ortalamasından MAH-ort.(mm) ve ayrıca ((MAH-ort. X 5,5) - 5) formülü ile de sol ventriküler EF hesaplandı (EF-MAH %) (15).

### d) İstatistiksel analiz

Elde edilen değişkenlerin istatistiksel değerlendirmeleri SPSS 10.0 for Windows ile yapıldı ve  $p < 0.05$  olması istatistiksel olarak anlamlı kabul edildi. İstatistiksel değerlendirmede sürekli değişkenlere ilişkin değerler ortalamaya  $\pm$  standart sapma; nitelik değişkenlere ilişkin değerler yüzde olarak verildi. ADE DD, DI ve II gruplarının analizinde parametrik test varsayımlarının sağlanıp sağlanmadığına bakıldı. Normalilik varsayımlının sağlanıp sağlanmadığı Kolmo-

gorov-Simirnov testiyle ve varyansların homojen olup olmadığı ise Levene testi ile değerlendirildi. Parametrik test varsayımlarının sağlanmadığı durumlarda Kruskal-Wallis testi uygulandı ve anlamlı saptanması durumunda fark yaratan grubun tayini için ikili gruplar arasında Mann-Whitney-U testi yapıldı. Parametrik test varsayımlarının sağlandığı durumlarda ise ikiden fazla grubun karşılaştırmasında sürekli değişkenler açısından farklılık olup olmadığından değerlendirilmesinde tek yönlü varyans analizi kullanıldı.

## Bulgular

### a) Olguların temel nitelikleri

Anjiyotensin dönüştürücü enzim gen polimorfizmi tiplerine göre sağlıklı genç erkeklerin temel nitelikleri Tablo 1'de gösterilmektedir. Her üç ADE grubu arasında yaş, bel çevresi, bel-kalça oranı, beden kitle indeksi, kalp hızı ve sistolik ile diastolik kan basıncı açısından anlamlı fark yoktu ( $p>0.05$ ).

### b) Ekokardiyografik sonuçlar

#### Sol ventrikül boyutları ve kitlesi

Anjiyotensin dönüştürücü enzim gen polimorfizm tiplerine göre sol ventrikül boyutlarının ekokardiyografik olarak değerlendirilmesi Tablo 2 ve Tablo 3'de gösterilmektedir. Interventriküler septum ve SVAD diastolik çapları ile SVK ve SVKI, en yüksektenden en düşük değere doğru sırasıyla DD, DI ve II ADE genotiplerinde

**Tablo 1. Sağlıklı genç erkeklerin ADE gen polimorfizm tiplerine göre temel nitelikleri**

|                           | DD Tipi<br>(n= 18) | DI Tipi<br>(n=18) | II Tipi<br>(n=13) | p  |
|---------------------------|--------------------|-------------------|-------------------|----|
| Yaş (yıl)                 | 22.6±1.1           | 23.1±2.5          | 23.5±1.2          | AD |
| Bel çevresi (cm)          | 74.6±6.3           | 79.1±7.6          | 77.3±6.5          | AD |
| BKİ ((kg/m <sup>2</sup> ) | 21.5±1.8           | 21.3±1.8          | 21.8±2.0          | AD |
| Kalp hızı (dk)            | 62.5±8.5           | 66.8±10.5         | 69.1±5.9          | AD |
| Sistolik KB (mmHg)        | 116.5±7.5          | 116.9±6.0         | 117.3±8.5         | AD |
| Diastolik KB (mmHg)       | 75.0±7.1           | 74.4±6.0          | 73.6±4.5          | AD |

AD: anlamlı değil, ADE: anjiyotensin dönüştürücü enzim, KB: kan basıncı

**Tablo 2. Sağlıklı genç erkeklerin ADE gen polimorfizm tiplerine göre sol ventrikül boyutlarının ekokardiyografik olarak değerlendirilmesi**

|                                  | DD Tipi<br>(n= 18) | DI Tipi<br>(n=18) | II Tipi<br>(n=13) | *p   |
|----------------------------------|--------------------|-------------------|-------------------|------|
| IVS- diastolik (mm)              | 8.7±1.0            | 8.1±0.6           | 8.0±0.8           | 0.01 |
| SVAD- diastolik (mm)             | 8.5±1.3            | 7.9±0.8           | 7.4±0.8           | 0.05 |
| SVÇ-diyastol sonu (mm)           | 46.5±4.8           | 45.1±4.6          | 43.5±4.3          | AD   |
| SVÇ-sistol sonu (mm)             | 27.8±2.6           | 27.3±3.4          | 26.4±2.4          | AD   |
| SVK (g)                          | 152.8±41.8         | 149.3±47.3        | 122.0±36.6        | 0.01 |
| SVK İndeksi (g/ m <sup>2</sup> ) | 86.5±18.7          | 86.5±19.5         | 73.5±16.2         | 0.01 |

\*Kruskal-Wallis testine göre, AD: anlamlı değil, IVS:interventriküler septum kalınlığı, SVAD: sol ventrikül arka duvar kalınlığı, SVÇ: sol ventrikül çapı, SVK: sol ventrikül kitlesi.

**Tablo 3. Sağlıklı genç erkeklerin ekokardiyografik olarak sol ventrikül boyutlarının ADE genotiplerinde ikili grup karşılaştırması p\***

|                                  | DD/II | DI/II | DD/DI |
|----------------------------------|-------|-------|-------|
| IVS- diastolik (mm)              | 0.01  | 0.05  | AD    |
| SVAD- diastolik (mm)             | 0.05  | 0.05  | AD    |
| SVK (g)                          | 0.01  | 0.05  | 0.05  |
| SVK İndeksi (g/ m <sup>2</sup> ) | 0.01  | 0.05  | AD    |

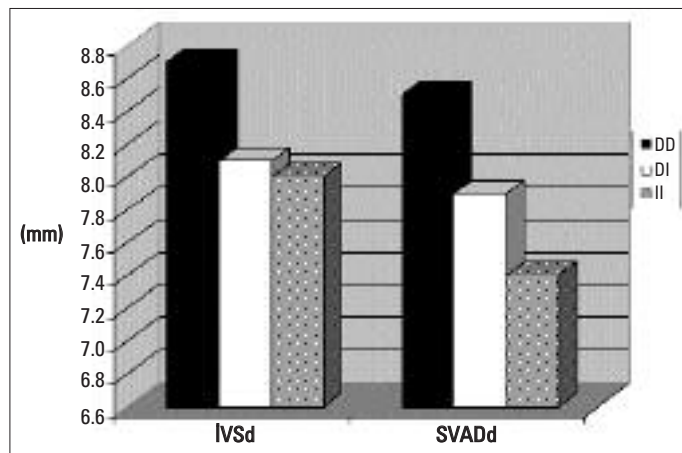
\*Mann-Whitney-U testine göre, AD: anlamlı değil, IVS:interventriküler septum kalınlığı, SVAD: sol ventrikül arka duvar kalınlığı, SVK: sol ventrikül kitlesi.

anlamlı olarak farklı saptandı (SVAD için  $p<0.05$  ve diğerleri için  $p<0.01$ ). Interventriküler septum ve SVAD diastolik kalınlık farklıları, DD ile II grupları (sırasıyla  $p<0.01$  ve  $p<0.05$ ) ve DI ile II grupları arasında dayandı (her ikisi için  $p<0.05$ ); DD ile DI arasındaki fark ise anlamlı değildi ( $p>0.05$ ). Sol ventrikül kitlesi ise her bir grup arasında anlamlı fark oluşturdu ve bu fark DD ile II arasında en belirgindi ( $p<0.01$ ). Hem DD ile DI ve hem de DI ile II grupları arasındaki anlamlılık ( $p<0.05$ ) düzeyindeydi. Sol ventrikül kitle indeksesi ise yine DD ile II grupları arasında en belirgindi ( $p<0.01$ ) ve DD ile DI arasında anlamlı fark saptanmazken ( $p>0.05$ ); DI ile II grupları arasında ( $p<0.05$ ) düzeyinde bir anlamlı fark saptandı. Ancak hem SVK, hem de SVKI, normal sınırlarda idi.

Anjiyotensin dönüştürücü enzim DD, DI ve II genotiplerinde ekokardiyografik olarak IVS ve SVAD diastolik kalınlıklarının değerlendirilmesi Şekil 1'de; SVK ve SVKI'nın değerlendirilmesi ise Şekil 2'de gösterilmektedir. Sol ventrikül boyutlarının diğer ölçümlerinde ise üç grup arasında anlamlı fark bulunmadı.

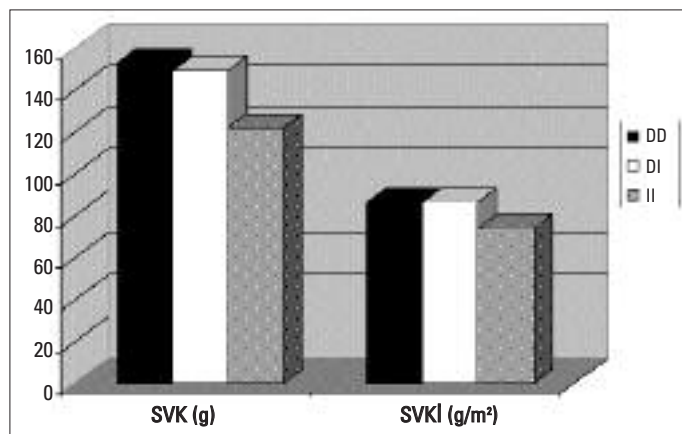
### Sol ventrikül fonksiyonları

Anjiyotensin dönüştürücü enzim gen polimorfizm tiplerine göre sol ventrikül volüm ve sistolik fonksiyonlarının ekokardiyografik olarak değerlendirilmesi ise Tablo 4'de gösterilmektedir. Kalp debisi, kalp debi indeksi, EF-2D, EF-MAH, FK ve MPI, ADE



ADE: anjiyotensin dönüştürücü enzim

**Şekil 1. Sağlıklı genç erkeklerin ADE DD, DI ve II genotiplerinde interventriküler septum (IVS) ve sol ventrikül arka duvar (SVAD) diastolik (d) kalınlıklarının ekokardiyografik değerlendirilmesi**



ADE: anjiyotensin dönüştürücü enzim

**Şekil 2. Sağlıklı genç erkeklerin ADE DD, DI ve II genotiplerinde sol ventrikül kitlesi (SVK) ve SVK indeksi (SVKI)'nın ekokardiyografik olarak değerlendirilmesi**

genotiplerinin üç grubu arasında istatistiksel olarak anlamlı fark oluşturmadı ( $p>0.05$ ).

Sol ventrikül diyastolik fonksiyon parametreleri de ADE genotiplerinin üç grubu arasında anlamlı fark göstermedi ( $p>0.05$ ). Anjiyotensin dönüştürücü enzim gen polimorfizm tiplerine göre sol ventrikül diyastolik fonksiyonlarının ekokardiyografik olarak değerlendirilmesi Tablo 5'de gösterilmektedir.

## Tartışma

Anjiyotensinojen, ADE ve AT II'nin tip 1 reseptörü gibi RAS bileşenlerinin, miyokardiyal büyümeye katkıda bulundukları gösterilmiştir (27). Sol ventrikül hipertrofisinin kardiyovasküler morbidite ve mortalitenin bağımsız bir belirleyicisi olduğu ise iyi bilinmektedir (2). Anjiyotensin dönüştürücü enzim DD genotipine sahip kişilerin ise yüksek kardiyak ADE ve AT II konsantrasyonlarına sahip oldukları ve lokal RAS aktivitesinin etkilerinin dolasındaki RAS'in etkilerinden daha önemli olabileceği belirtilemektedir (28). Bizim çalışmamızda, IVS ve SVAD kalınlıkları en yüksektenden en düşüğe doğru sırasıyla ADE DD, DI ve II genotiplerinde olmak üzere her üç grupta da normal sınırlarda idi. Ancak IVS ve SVAD diyastolik kalınlıkları DD ile II genotipleri ve DI ile II genotipleri arasında anlamlı fark oluştururken; DD ile DI genotipleri arasında anlamlı fark göstermedi. Benzer şekilde SVK ve SVKİ ise her üç ADE genotipinde normal sınırlarda olup yine anlamlı olarak farklıydı ve en yüksektenden en düşüğe doğru sırasıyla DD, DI ve II ADE genotiplerinde idi. Hem SVK, hem de SVKİ, en belirgin olarak yine DD ile II ve DI ile II genotipleri arasında anlamlı

**Tablo 4. Sağlıklı genç erkeklerin ADE gen polimorfizm tiplerine göre sol ventrikül volüm ve sistolik fonksiyonlarının ekokardiyografik olarak değerlendirilmesi**

|                             | DD Tipi<br>(n= 18) | DI Tipi<br>(n=18) | II Tipi<br>(n=13) | p  |
|-----------------------------|--------------------|-------------------|-------------------|----|
| Diyastolik volüm (ml)       | 111.1±23.1         | 96.3±23.6         | 90.6±20.6         | AD |
| Sistolik volüm (ml)         | 35.5±8.6           | 28.2±6.9          | 28.1±6.5          | AD |
| Kalp debisi (L/dk)          | 5.3±1.1            | 5.2±1.3           | 5.1±1.6           | AD |
| KDİ (L/ dk/m <sup>2</sup> ) | 3.3±0.6            | 3.2±0.7           | 3.1±0.9           | AD |
| Fraksiyonel kısالma (%)     | 39.7±2.6           | 40.4±2.2          | 39.8±2.6          | AD |
| Ejeksiyon fraksiyonu (%)    | 71.8±2.4           | 70.2±2.6          | 70.3±2.6          | AD |
| MAH-ortalama (mm)           | 14.7±0.8           | 14.6±0.5          | 14.5±0.7          | AD |
| EF-MAH (%)                  | 75.9±4.3           | 75.3±2.8          | 74.8±3.8          | AD |
| MPİ (%)                     | 57±11              | 57±10             | 56±7              | AD |

AD: anlamlı değil, EF-MAH: mitral annuler hareket yönteminden hesaplanan ejeksiyon fraksiyonu, KDİ: kalp debi indeksi, MAH: mitral annuler hareket, MPİ: miyokardiyal performans indeksi

**Tablo 5. Sağlıklı genç erkeklerin ADE gen polimorfizm tiplerine göre sol ventrikül diyastolik fonksiyonlarının ekokardiyografik olarak değerlendirilmesi**

|                          | DD Tipi<br>(n= 18) | DI Tipi<br>(n=18) | II Tipi<br>(n=13) | p  |
|--------------------------|--------------------|-------------------|-------------------|----|
| Mitral E-velosite (m/sn) | 0.9±0.1            | 0.8±0.1           | 0.9±0.1           | AD |
| Mitral A-velosite (m/sn) | 0.5±0.1            | 0.5±0.1           | 0.5±0.7           | AD |
| E/A oranı                | 1.9±0.5            | 1.6±0.4           | 1.7±0.2           | AD |
| İVRZ (msn)               | 79.2±11.2          | 81.9±7.5          | 77.7±8.8          | AD |
| DZ (msn)                 | 196.9±31.5         | 199.4±26.7        | 200.9±18.7        | AD |
| VPR                      | 61.0±14.2          | 64.0±7.9          | 61.8±8.6          | AD |

AD: anlamlı değil, DZ: deselerasyon zamanı, E/A: mitral akımın erken ve geç dolu hızlarının oranı, İVRZ: izovolumetrik relaksasyon zamanı, VPR: mitral akım yayılma hızı

fark oluştururken; ADE DD ile DI genotipleri arasında her ikisi de anlamlı fark oluşturmadı. Sonuç olarak ADE DD genotipine sahip sağlıklı genç erkeklerde SVK, SVKİ, IVS ve SVAD kalınlıklarının, normal sınırlarda saptanmış olsa da, özellikle II genotipli kişilere göre anlamlı olarak göreceli artışı belirtilebilir.

Schunkert ve ark. bir beyazırk populasyonunda ADE genotipi ile SVH arasındaki bağlantıyı araştırmışlar ve kadınlarda değil ama normotansif erkeklerde DD genotipinin SVH oluşumu için bağımsız bir risk faktörü olduğunu bildirmiştir (29). Sağlıklı genç erkeklerde ADE DD genotipinin IVS ve SVAD kalınlıkları, SVK ve SVKİ ile ilişkili olduğu; benzer ilişkinin ise sağlıklı genç kadınlarda olmadığı tarafımızdan da gösterilmiştir (30). Anjiyotensin dönüştürücü enzim DD genotipiyle SVH arasındaki pozitif ilişki Iwai ve ark. tarafından da doğrulandı, fakat cinsiyetler arasında farklılık saptanmadı (31). Linhart ve ark. (32) ise 110 normotansif sağlıklı erkekte SVKİ'ni, DD veya DI genotiplerinde, II genotipine göre anlamlı olarak daha yüksek saptamışlardır.

Kardiyak miyositlerden AT II salınımına yol açan hemodinamik stimülasyon miyokardiyal reseptörleri aktive ederek miyokardiyal hipertrofiyi tetiklemektedir. Hipertansif DD genotipli bireylerle II genotipli bireyler arasında SVK açısından belirgin bir farklılık olduğu, ancak normotansif grupta ise istatistiksel olarak anlamlı farkın olmadığı gösterilmiştir (33). Prasad ve ark., (34) hipertansiyonun SVK üzerinde etkisinin sadece D aleli varlığında ortaya çıktığını ileri sürmüştür. Kimura ve ark., (35) esansiyel hipertansiyonlu 762 Japon'da ADE genotipleri açısından her iki cinsiyette kontrollere göre bir fark bulmamışlar; ancak sadece kadınlarda olmak üzere DD genotipinin IVS kalınlığı ile pozitif korelasyon gösterdiğini, sol ventrikül diyastol sonu çapıyla ise ters yönde ilişkili olduğunu belirtmişlerdir. Lindpaintner ve ark. (36) ise ADE genotipi ile SVK arasında bir ilişki gösteremediler. Anjiyotensin dönüştürücü enzim DD genotipinin, abdominal yağlama ve kilo artışı ile de ilişkili olduğu ise, Strazzullo ve ark. (37) tarafından 959 İtalyan erişkin erkekte yapılan bir çalışmada gösterilmiştir.

Familyal etkilerin SVK'ni kısmen belirlediği Adams ve ark.nın yaptığı bir çalışmada görülmüştür (38). Verhaaren ve ark.nın (39) çalışmásında SVK'ndeki değişkenliğin %60'ın üzerinde oranda genetik faktörler tarafından etkilendiği sonucuna varılmıştır. İlginç olarak ADE DD genotipi ve SVK arasındaki güçlü ilişki kan basıncı normal değerlerdeyken elde edilmiştir.

Anjiyotensin dönüştürücü enzim DD genotipi, idyopatik kalp yetersizliği hastalarında artmış mortalite ile ilişkili bulunmuştur (40). Hipertrofik kardiyomiopatili hastalarda ADE DD genotipinin ve SVH'nin daha sık görüldüğü saptanmıştır (41). Anjiyotensin dönüştürücü enzim inhibitörleriyle tedavi sonrasında SVH'nde görülen gerilemenin, diğer antihipertansiflerle elde edilen gerilemeden çok daha belirgin olduğu bilinmektedir.

Sağlıklı genç erkeklerden oluşan olgularımızda, her üç ADE genotipinde sol ventrikül sistolik (EF-2D ve EF-MAH) ve diyastolik fonksiyonları ile global fonksiyonu yansitan MPİ anlamlı fark göstermedi ve beklenildiği gibi normal sınırlarda idi. Anjiyotensin dönüştürücü enzim DD genotipine sahip kişilerin, fazla ADE aktivitesi nedeniyle, yaşamlarının ileriki yıllarında çevresel faktörlerin de etkisiyle sol ventrikül hipertrofisine aday olabilecekleri belirtilebilir. Genetik yatkınlığın (DD genotipinin) yanısıra, özellikle hipertansiyon ve obezite gibi miyokard gerilimini artıran faktörlerin de eklenmesi sonucu kolayca gelişebilen sol ventrikül kitle artışı, başlangıçta normal olan sol ventrikül fonksiyonlarını bozabilir. Di Pasquale ve ark., ADE genotiplerinde diyastolik

fonksiyonları değerlendirdikleri çalışmalarında, 275 sağlıklı kişinin 6 yıllık takibi sonrasında mitral E/A oranını üç ADE genotipi arasında anlamlı olarak farklı bulmuşlar ve DD genotipine sahip olanlarda bu oranı anlamlı olarak düşük saptamışlardır (42).

Sonuç olarak, sağlıklı genç erkeklerde ADE gen polimorfizminin DD genotipinin, sol ventrikül hipertrofisi gelişmesi üzerine DI ve özellikle II genotiplerinden daha güçlü etkisinin olduğu söylenebilir. Ancak DD genotipli çok sayıda genç kişiyi kapsayan uzun dönemli takip çalışmalarının, bu konuya daha iyi ışık tutacağı da göz ardı edilmemelidir.

## Kaynaklar

- Thompson CB. Apoptosis in the pathogenesis and treatment of disease. *Science* 1995; 267: 1456-62.
- Malik FS, Lavie CJ, Mehra MR, Milani RV, Re RN. Renin-angiotensin system: genes to bedside. *Am Heart J* 1997; 134: 514-27.
- Casale PN, Devereux RB, Milner M, et al. Value of echocardiographic left ventricular mass in predicting cardiovascular morbid events in hypertensive men. *Ann Intern Med*. 1986; 105: 173-8.
- Regitz-Zagrosek V, Friedel N, Heymann A, et al. Regulation, chamber localization, and subtype distribution of angiotensin II receptors in human hearts. *Circulation* 1995; 91: 1461-71.
- Rigat B, Hubert C, Athenc- Gelas F, et al. An insertion/deletion polymorphism in the angiotensin I-converting enzyme gene accounting for half the variance of serum enzyme levels. *J Clin Invest* 1990; 86:1343-6.
- Danser AH, Schalekamp MA, Bax WA, van den Brink AM, Saxena PR. Effect of the deletion/insertion polymorphism. *Circulation* 1995; 92: 1387-8.
- Tiret L, Rigat B, Visvikis S, et al. Evidence from combined segregation and linkage analysis that a variant of the angiotensin I-converting enzyme (ACE) gene controls plasma ACE levels. *Am J Hum Genet* 1992; 51: 197-205.
- Ribichini F, Steffenino G, Dellavalle A, Matullo G, Colajanni E. Plasma activity and insertion/deletion polymorphism of angiotensin I-converting enzyme. A major risk factor and a marker of risk for coronary stent restenosis. *Circulation* 1998; 97: 147-54.
- Cohen GI, Bietrolungo JF, Thomas JD, Klein AL. A practical guide to assessment of ventricular diastolic function using Doppler echocardiography. *J Am Coll Cardiol* 1996; 27: 1753-60.
- Teichholz LE, Kreulen T, Herman MV, Gorim R. Problems in echocardiographic volume determinations; echocardiographic-angiographic correlations in the presence or absence of asynergy. *Am J Cardiol* 1976; 37: 7-11.
- Willenheimer R, Cline C, Erhardt L, Israelson B. Left ventricular atrioventricular plane displacement: an echocardiographic technique for rapid assessment of prognosis in heart failure. *Heart* 1997; 78: 230-6.
- Henein MY, Gibson DG. Long axis function in disease. *Heart* 1999; 81: 229-31.
- Alam M, Höglund C, Thorstrand C, et al. Haemodynamic significance of the atrioventricular plane displacement in patients with coronary artery disease. *Eur Heart J* 1992; 13: 194-200.
- Alam M. The atrioventricular plane displacement as a means of evaluating left ventricular systolic function in acute myocardial infarction. *Clin Cardiol* 1991;14: 588-94.
- Alam M, Höglund C, Thorstrand C, et al. Atrioventricular plane displacement in severe congestive heart failure following dilated cardiomyopathy or myocardial infarction. *J Intern Med* 1990; 228: 569-75.
- Dursunoğlu D, Evrengül H, Polat B, ve ark. Hipertansif ve diyabetik hastalarda atrioventriküler düzlem yer değişimi ve konvansiyonel metodlarla sol ventrikül fonksiyonlarının değerlendirilmesi. *Türk Kardiyol Dern Ars* 2004; 32: 223-31.
- Dursunoğlu D, Polat B, Evrengül H, et al. Assessment of systolic function by atrioventricular plane displacement in patients with diastolic dysfunction. *Acta Cardiol* 2004; 59: 409-15.
- Höglund C, Alam M, Thorstrand C. Atrioventricular valve plane displacement in healthy persons: An echocardiographic study. *Acta Med Scand* 1988; 224: 557-62.
- Owen A. Effect of increasing age on diastolic motion of the left ventricular atrioventricular plane in normal subjects. *Int J Cardiol* 1999; 69:127-32.
- Ponez M, Solowiejczky D, Harpel B, et al. Construction of human gene libraries from small amounts of peripheral blood. *Hemoglobin* 1982; 6: 27-36.
- Schiller NB, Shah PM, Crawford M, et al. American Society of Echocardiography Committee on standards, Subcommittee on Quantitation of Two-Dimensional Echocardiograms: Recommendations for quantitation of the left ventricle by two-dimensional echocardiography. *J Am Soc Echocardiogr* 1989; 2: 358-67.
- Pearlman AS, Gardin JM, Martin RP, et al. Guidelines for optimal physician training in echocardiography. Recommendations of the American Society of Echocardiography Committee for Physician Training in Echocardiography. *Am J Cardiol* 1987; 60: 158-63.
- Sahn DJ, DeMaria A, Kisslo J, Weyman A. Recommendations regarding quantitation in M-mode echocardiography: results of a survey of echocardiographic measurements. *Circulation* 1978; 58: 1072-83.
- Devereux RB, Alonso DR, Lutas EM, et al. Echocardiographic assessment of left ventricular hypertrophy: comparison to necropsy findings. *Am J Cardiol* 1986; 57: 450-8.
- Brun P, Tribouilloy C, Duval AM, et al. Left ventricular flow propagation during early filling is related to wall relaxation: a color M-mode Doppler analysis. *J Am Coll Cardiol* 1992; 20: 420-32.
- Tei C, Ling LH, Hodge DO, et al. New index combined systolic and diastolic myocardial performance: a simple and reproducible measure of cardiac function: a study in normals and dilated cardiomyopathy. *J Cardiol* 1995; 26: 357-66.
- Karjalainen J, Kujala UM, Stolt A, Mantysaari M. Angiotensinogen gene M235T polymorphism predicts left ventricular hypertrophy in endurance athletes. *J Am Coll Cardiol* 1999; 34: 494-9.
- Ledru F, Blanchard D, Battaglia S, et al. Relation between severity of coronary artery disease, left ventricular function and myocardial infarction, and influence of the ACE I/D gene polymorphism. *Am J Cardiol* 1998; 82: 160-5.
- Schunkert H, Hense HW, Holmer SR, et al. Association between a deletion polymorphism of the angiotensin-converting enzyme gene and left ventricular hypertrophy. *N Engl J Med* 1994; 330: 1634-8.
- Dursunoğlu D, Evrengül H, Tanrıverdi H, et al. Angiotensin converting enzyme polymorphism in healthy young subjects: Relationship to left ventricular mass and functions. *Acta Cardiol*, (in press).
- Iwai N, Ohmichi N, Nakamura Y, Kinoshita M. DD genotype of the angiotensin converting enzyme gene is a risk factor for left ventricular hypertrophy. *Circulation* 1994; 90: 2622-8.
- Linhart A, Sedlacek K, Jachymova M, et al. Lack of association of angiotensin-converting enzyme and angiotensinogen genes polymorphism with left ventricular structure in young normotensive men. *Blood Press* 2000; 9: 47-51.
- Nakahara K, Matsushita S, Matsuoka H. Insertion/Deletion polymorphism in the angiotensin-converting enzyme gene affects heart weight. *Circulation* 2000; 101: 148-51.
- Prasad N, O'Kane KP, Johnstone HA, et al. The relationship between blood pressure and left ventricular mass in essential hypertension is observed only in the presence of the angiotensin converting enzyme deletion allele. *Q J Med* 1994; 87: 659-62.
- Kimura M, Yokota M, Fujimura T, et al. Association of a deletion polymorphism of the angiotensin-converting enzyme gene with left ventricular hypertrophy in Japanese women with essential hypertension; multicenter study of 1,919 subjects. *Cardiology* 1997; 88: 309-14.

36. Lindpaintner K, Lee M, Larson GM. Absence of association or genetic linkage between the angiotensin converting enzyme gene and left ventricular mass. *N Engl J Med* 1996; 334: 1023-8.
37. Strazzullo P, Iacone R, Iacoviello L, et al. Genetic variation in the renin-angiotensin system and abdominal adiposity in men: the Olivetti Prospective Heart Study. *Ann Intern Med* 2003; 138: 17-23.
38. Adams TD, Yanowitz FG, Fisher AG, et al. Heritability of cardiac size: an echocardiographic and electrocardiographic study of monozygotic and dizygotic twins. *Circulation* 1985; 71: 39-44.
39. Verhaaren HA, Schieken RM, Mosteller M, et al. Bivariate genetic analysis of left ventricular mass and weight in pubertal twins (the Medical College of Virginia twin study). *Am J Cardiol* 1991; 68: 661-8.
40. Andersson B, Sylven C. The DD genotype of the angiotensin-I converting enzyme gene is associated with increased mortality in idiopathic heart failure. *J Am Coll Cardiol* 1996; 28: 162-7.
41. Lechin M, Quinones MA, Orman A. Angiotensin I converting enzyme genotypes and left ventricular hypertrophy in patients with hypertrophic cardiomyopathy. *Circulation* 1995; 92: 1808-12.
42. Di Pasquale P, Cannizzaro S, Scalzo S, et al. Relationship between ACE-DD polymorphism and diastolic performance in healthy subjects. *Scand Cardiovasc J* 2004; 38: 93-7.



1930'lu yılların ortalarında Eskişehir Porsuk Oteli'nin (Günümüzde Tepebaşı Belediyesi) arka kısmı.